

Hidroterminio trimaèiø procesø Drûkðio eþere skaitinis modeliavimas

5. Dvifazis modelis

**Petras Vaitiekûnas,
Jelena Daimardanova,
Antanas Markeviëius,
Vladislovas Katinas**

*Lietuvos energetikos institutas,
Atsinaujinanèio energijos ðaltiniø
laboratorija, Breslaujos g. 3,
LT-44403 Kaunas*

Dvifazis matematinis modelis skystis-dujos panaudotas skaitiniam trimaèiø perneðimo procesø modeliavimui. Nagrinëjama perneðimo procesus sàlygojanèio veiksnio sàveika, jo átaka masës ir ðilumos mainams natûraliame baseine-auðintuve: vëjo greitis ir kryptis, kintantis vandens tankis, ðilumos ið vandens atidavimas atmosferai, trinties ir ðilumos mainø koeficientai vandens ir oro skiriamajame pavirðiuje.

Remiantis sroviø ir vidiniø temperatûro profilio matavimø duomenimis surasta, kad vidutinio stiprumo nestabilus vëjas sukelia vandens pavirðiuje maiðymàsi, kurá galima ávertinti $1 \text{ m}^2/\text{s}$ dydþio turbulentiniu klampiu (skaièiavimuose naudotas turbulentinis klampis $0,9\text{--}1,3 \text{ m}^2/\text{s}$). Vëjo impulso átaka vandens pavirðiu, eksperimento duomenimis, turi bûti $1\text{--}3\%$ vidutinio vëjo greièio. Modelis skirtas $1\text{--}5 \text{ m/s}$ vidutinio vëjo greièiams. Palyginus eksperimento ir teoriniai rezultatai gerai sutapo. Siekiant, kad kiekybiniai rezultatai sutaptø, reikëtø turëti daugiau ávairiø veiksnio ribiniø sàlygø, kintanèio laike, bei spræsti nestacionarias perneðimo lygtis.

Raktaþodþiai: hidrodinamika, skaièiuojamoji fluidø dinamika, skaitinis modeliavimas, trimaèiai procesai, dvifaziai srautai, baseinas-auðintuvias, masës ir ðilumos mainai

1. ÁVADAS

Šilumos ir masës mainai natûraliame auðinamajame baseine vyksta skiriamajame pavirðiuje vanduo-oras, su ðiluminiais procesais vandens masës viduje. Stebimi prieðingi dviejø procesø sistemø ryðiai: pavirðio temperatûros, kuri sàlygoja auðinimo intensyvumà, o tai su skirtingo tankio stratifikacijos sàlygomis turi átokos baseino temperatûrø laukams, taip pat turbulentiniø perneðimø [1].

Matematinio modeliavimo bendrøjø perneðimo procesø lygèiø pagrindu sëkmæ lemia teisinga uþdaviniø formuluotë, besiremianti numatytomis adekvàeionmis tikrovei ribinëmis sàlygomis. Pagrindinës viso baseino pernaðos procesø dedamosios yra ðilumos atidavimas atmosferai, turbulentumo charakteristikos, ðilumos balansas, susidedantis ið ðilumos nuostoliø ir padidéjusio ðilumos kiekio. ðilumos nuostolius lemia konvekciø, kondukcija, garavimas ir vandens spinduliutø ilgø bangø spektre. ðilumos padaugëja dël atneðamos ið Ignalinos atominës elektrinës (IAE) ðilto vandens masës, saulës ir atmosferos spinduliutøs [1, 2].

Šio straipsnio tikslas – panaudojant skaièiuojamosios fluidø dinamikos kodus papildyti dvifazá matematiná modelá [3] vienfazio modelio [4, 5] á ðilu-

mos balansà átrauktais elementais – saulës, atmosferos bei vandens spinduliute, garavimo ðiluma ávertingant trimatæ pernaðos procesø struktûrą – pateikti skaièiavimo metodikà ir ðilumos bei masës mainø baseine-auðintuve skaièiavimo rezultatus.

2. PAGRINDINËS LYGTYS IR SKAIÈIAVIMO METODAS

Bendruoju atveju recirkuliaciniams srautams ir ðilumos mainams apraðtyti sprendþiamą trimaèiø Navjë ir Stokso bei energijos lygèiø sistema dviejø fazø teoriniams modeliui. Jø apibendrinta iðraiðka yra tokia [3]:

$$\operatorname{div}(r_i \rho_i \vec{V}_i \phi_i - r_i \Gamma_{\phi_i} \operatorname{grad} \phi_i) = r_i S_{\phi_i}; \quad (1)$$

ëia r_i – i fazës tûrinë dalis, ρ_i – i fazës tankis kg/m^3 , ϕ_i – i fazës priklausomas kintamasis: $\phi = 1$ – tolydumo lygtis, U, V, W – impulsas x, y ir z koordinatëiø kryptimis m/s , H – entalpijos, \vec{V}_i – i fazës greièio vektorius, $\tilde{\Lambda}_{\phi}$ – kintamojo ϕ difuzijos koeficientas, S_{ϕ} – kintamojo ϕ lygties srauto narys. (1) lygèiø sistemà sudaro Navjë ir Stokso bei energijos lygtys pirmai ir antrai fazëms, sprendþiamos baigtiniø tûriø metodu [3, 4].

Vandens tankis yra temperatūros funkcija, o kitos savybės, kaip klampis, šilumos laidumas ir savitoji šiluma, laikomos pastoviomis. Kintamas tankis lemia natūralios konvekcijos procesą.

PHOENICS programos koduose naudotas vandens tankis kaip temperatūros t funkcija [5]:

$$\rho = (999,83952 + 16,945176 t - 7,9870401 \cdot 10^{-3} t^2 - 46,170461 \cdot 10^{-6} t^3 + 105,56302 \cdot 10^{-9} t^4 - 280,54253 \cdot 10^{-12} t^5) / (1 + 16,879850 \cdot 10^{-3} t); \quad (2)$$

èia ρ – tankis kg/m^3 , t – vandens temperatūra $^{\circ}\text{C}$. Tankio gradientas vandens masėje su svorio jėgomis salygoja natūralią konvekciją, kuri gali būti svarbus fluido judėjimo veiksny. Tačiau tai gali būti gera aproksimacija šitokio tipo pernažos procesuose imti kitas fizines savybes pastoviomis, nes jė gradiento ataka fluido judėjimui yra visai maža. Oro savybės modeliavimo procese laikomos pastoviomis esant $21,4^{\circ}\text{C}$ temperatūrai.

Vandens srautas yra modeliuojamas kaip laminarinis su didesniu turbulentumu, o tai svarbu aužinimo baseino pernažos procesuose. Modeliavime naujota turbulentinio klampio hipotezė, kai molekulinis klampis pakeistas efektyviuoju klampiu, susideančiu iš dviejų komponentų – molekulinio ir turbulentinio:

$$\Gamma_{\phi l} = v_l / \text{Pr}_{\phi l} + v_t (\text{Pr}_t)_{\phi l}; \quad (3)$$

èia v_l – laminarinis, v_t – turbulentinis klampis m^2/s , $\text{Pr}_{\phi l}$ – molekulinis ir $(\text{Pr}_t)_{\phi l}$ – turbulentinis Prandtlio skaičiai. Oro srautui, esant vėjui apie 5 m/s , naudojome pastovų turbulentumo faktorių 6,7, kaip ir [4] darbe.

Naudojant dekartinę koordinatinių sistemą x – kryptis orientuota į rytus, y – į diaurą ir z – vertikaliai į viršų. Koordinatė z dalijama į 18 dalių: 9 tenka vandens sričiai ir 9 – oro. Pastaroji prasideja vandens paviršiumi ir artimuoju reljefu, kurio nelygumai bei augmenija ávertinama blokuojant elementus. Kraštinių salygos yra IAE naudojamo vandens debitas ir temperatūra. Oro sričiai – vėjo greitis ($0\text{--}5 \text{ m/s}$) ir kryptis, drėgnumas, temperatūra, turbulentumas, kurio paprasėiausia forma yra šitokia:

$$v_t = 1,34 \times |U_{lok}|; \quad (4)$$

èia U_{lok} – vietinė vėjo greitėlio prie vandens paviršiaus reikðmė [3].

Tarpfaziniai parametrai. Juos sudaro tarpfaziniai difuziniai ir konvekciniai srautai. Pavyzdžiu, slėgio lygëiai tarpfazinis masės srautas yra šios formos:

$$S_H = (f_{\phi,i} + <m_{ji}>) (\phi_i^{int} - \phi); \quad (5)$$

èia $f_{\phi,i}$ – tarpfazinis (difuzinis) pernešimo srautas kg/s ; m_{ji} – masės perneðimo dydis tarp fazų kg/s ; $<>$ – maksimumas tarp 0,0 ir m_j ; ϕ_i^{int} – ϕ kintamojo reikðmė tarp fazų, ϕ_i – i fazës ϕ kintamojo reikðmė.

S_{P_i} dimensija yra $(\text{kg/s}) \times (\phi$ dimensija), t. y. jei ϕ yra greitis (m/s), tai S_{P_i} – niutonai ir jei ϕ – entalpija (J/kg), S_{P_i} – vatai (W). S_{P_i} atsiranda suporintotu [7] kintamøjø lygtyste, ϕ_1 ir ϕ_2 , t. y.:

$$S_{P_1} = (f_{\phi,1} + <m_{21}>) (\phi_1^{int} - \phi_1); \quad (6)$$

$$S_{P_2} = (f_{\phi,2} + <m_{12}>) (\phi_2^{int} - \phi_2); \quad (7)$$

èia $m_{21} = -m_{12}$.

Tarpfazinës trintis. Ignoruojant tarpfaziná masės perneðimà tarpfaziniai srauto nariai yra šie:

$$S_{vi} = f_{vi} \times (v_2 - v_1); \quad (8)$$

èia S_{vi} turi dimensiją niutonais ir f_{vi} dabar yra tarpfazinés trinties koeficientas Ns/m ar kg/s , v_2 – antros (oro) ir v_1 – pirmos (vandens) fazës greitëiai m/s .

Tarpfazinis šilumos pernešimas. Daugeliu atvejø temperatûrø skirtumas yra varomoji jėga, kuria remiasi šilumos mainø koreliacijos.

Kai priklausomasis kintamasis yra entalpija, H_1 ir H_2 , ir ignoruojant masės perneðimà tarpfaziniai srautai yra šie:

$$S_{H_1} = h_{12} \times A_S \times (T_1^{int} - T_1), \\ S_{H_2} = h_{21} \times A_S \times (T_2^{int} - T_2); \quad (9)$$

èia h_{12} – pirmos fazës tarpfazinis šilumos perneðimo koeficientas $\text{W/m}^2\text{K}$; h_{21} – antros fazës tarpfazinis šilumos perneðimo koeficientas $\text{W/m}^2\text{K}$; A_S – tarpfazinio paviršiaus plotas m^2 . Tarpfazinés temperatûrø T_1^{int} ir T_2^{int} gali būti eliminuojamos bendruoju šilumos perneðimo koeficientu:

$$S_{Hi} = 1 \times A_S \times (T_2 - T_1) / (1/C_1 - 1/C_2); \quad (10)$$

èia $C_1 = h_{12}$ ir $C_2 = h_{21}$.

Tarpfazinis pernešimo koeficientas f_{pi} yra gauamas harmoniškai vidurkinant koeficientus C_1 ir C_2 :

$$f_{pi} = 2 / (1/C_1 - 1/C_2). \quad (11)$$

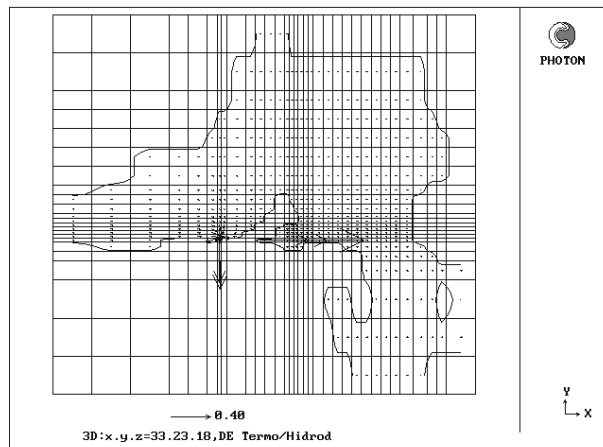
PHOENICS programe dvifaziuose uþdaviniuose skaièiuojant entalpijas srauto narys yra šios formos:

$$S_{H_1} = h_{12} \times A_S \times (T_2 - T_1); \quad (12)$$

èia h_{12} – šilumos pernešimo koeficientas $\text{W/m}^2\text{K}$; A_S – diskretinës celës paviršiaus plotas m^2 ir indeksi 1 ir 2 reiškia pirmą ir antrą fazes.

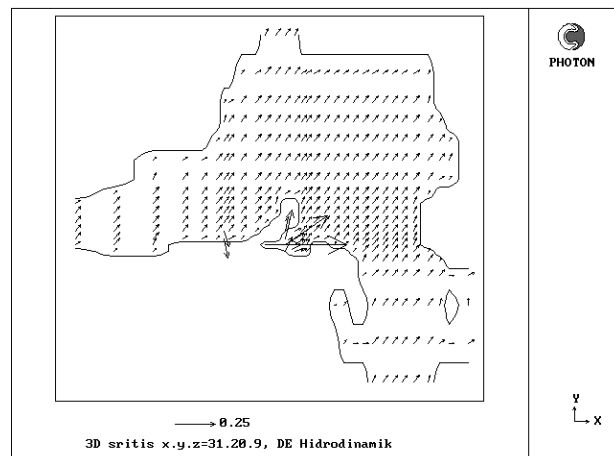
3. REZULTATAI IR ANALIZË

Tinklinë sritis sudaryta iš skirtingo dydžio celiø (1 pav.). Staèiakampis xy plotas ($14,3 \times 5,3 = 75,79 \text{ km}^2$) apima auðinimo baseiną ir dalá sausumos. Pagal z vertikalę integravimo sritis apima 10 m vandens ir 100 m oro sluoksná virð baseino, áskaitant artimajá sausumos reljefá (blokuojant diskretinius elementus).

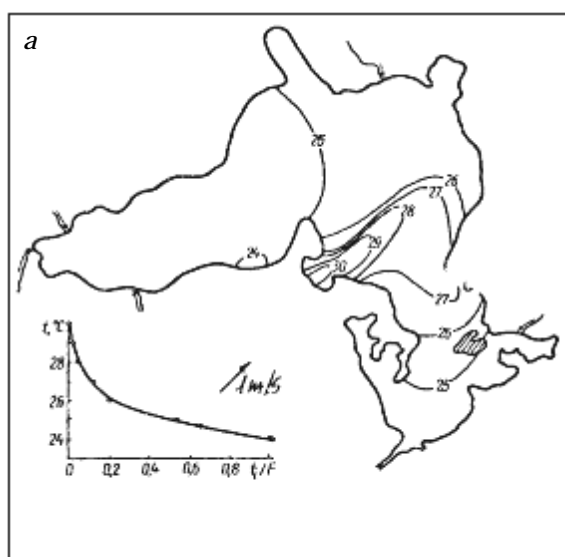


1 pav. Baseino srities diskretizavimas (vaizdas iš virðaus), vandens iðtekėjimo ið IAE ir paëmimo á jà greièiø vektoriø lauko modeliavimo rezultatas.

nors (1) tipo lygèiø sistema yra suprastinta atmetant nestacionarumo narius (dalines iðvestines pagal laikà). Laikas yra átrauktas á iðorinës iteracijos relaksacinius koeficientus (FALSDT = 21600 [7]). Skaiëiavimo trukmë priklauso nuo to, per kurá laikà kompiuteris suskaiëiuoja vienà iðorinæ iteracijà [7]. Testavimo rezultatai geriausiai sutapo esant tykai [3, 6]. 2 pav. matyti Drûkðio eþero vandens greièiø vek-



2 pav. Drûkðio eþero vandens greièiø vektoriø lauko modeliavimo, puëiant pietvakariø vidutiniam (5 m/s) vøjui,



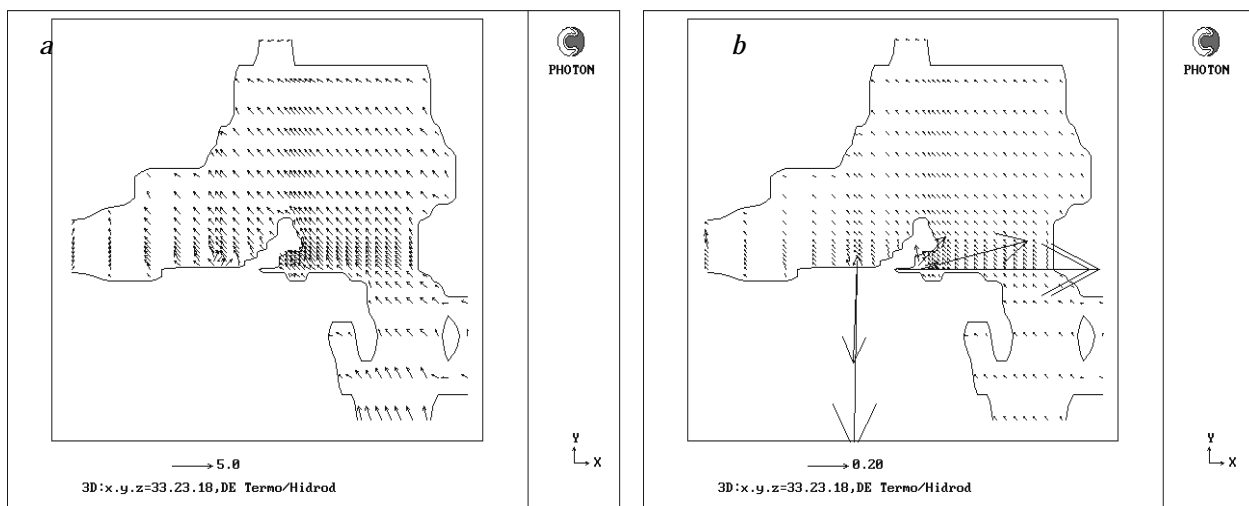
3 pav. Drûkðio eþero vandens pavirðiaus izotermos (pietvakariø vøjas – 1 m/s), a – matuotos izotermos [2], b – modeliuotos izotermos. Oro temperatûra 21,4°C, iðtekanëjo ið IAE vandens temperatûra 30°C, vidutinë vandens pavirðiaus temperatûra 24,2°C

Tokiu bûdu ávertinama vêjo krypties, greièio ir reljefo átaka baseino hidrotermikai. Modeliavimo rezultatø testavimas atliktas pagal [2] darbo matavimø duomenis. Ėia vandens tankis skaiëiuotas atsiþvelgus á baseino vietinæ temperatûrâ pagal (2) priklausomybæ; tarta, kad kitos vandens fizinës savybës pastovios.

Dvifazio fluido skaitinis modeliavimas $33 \times 23 \times 18$ srityje uþima daug kompiuterinio laiko,

toriø lauko modeliavimo, puëiant pietvakariø vidutiniam (5 m/s.) vøjui, rezultatai, 3 pav. – vandens pavirðiaus izotermø pasiskirstymo modeliavimo ir matavimo, puëiant 1 m/s pietvakariø vøjui, rezultatai. 4 pav. parodyti vandens pavirðiaus ir oro 0,25 m virð vandens sumodeliuoti vektoriø laukai, kai pietyreiø vêjo greitis 1 m/s.

Modeliuojant vêjo efektus baseino vandens pavirðiui naudotas pastovus tarpfazinis trinties koefi-



4. pav. Fluido judëjimo modeliavimo, puèiant vidutiniam (1 m/s) vëjui, rezultatai: *a* – horizontalus vektoriø laukas ore plokðtumoje, nutolusioje nuo vandens pavirðiaus 0,25 (vektorio mastelis – 5 m/s), *b* – vandens pavirðiaus greièiø vektoriø laukas (mastelis – 0,2 m/s)

cientas. Ðilto vandens maiðymasis su ðaltesniu baseine yra sudëtingas procesas, o vëjo efektai dar labiau komplikuoją já sukeldami bangavimà ir skirtingus vandens lygius. Be to, vëjo kryptis daþnaujaisiai yra nepastovi, kartu kinta ir terminë baseino padëtis.

4. IÐVADOS

1. Hidroterminiams trimaèiams dvifaziams procesams Drûkðiø eþere skaièiuoti panaudoti PHOENICS 3.5 kompiuteriniai kodai, ávertinantys vandens tankio kitimo priklausomybæ nuo temperatûros, ðilumos ir masës mainø vandenye, ðilumos mainus su atmosfera bei vëjo greièio ir krypties áatakà.

2. Palyginus skaitinius rezultatus su matavimo duomenimis, matyti, kad ðilumos mainai gerai sutapo puèiant vidutiniam (1 m/s) vëjui. Siekiant tiksliau apraðyti procesà, reikëtø spræsti nestacionarias pernaðos lygtis su laike kintamomis kraðtinëmis sàlygomis.

Gauta 2004 11 12

Literatûra

- Driþius M. R. Tvenkinio auðintuvø hidroterminis reþimas. Vilnius: Mokslas, 1985. 169 p. (rusø kalba).
- Ignalinos atominës elektrinës ðaldomojo tvenkinio ekosistemos bûklë pradiniu jos eksplotacijos periodu // Ðiluminë energetika ir aplinka. Vilnius: Lietuvos MA, 1992. T. 10. D. 1. 246 p.
- Vaitiekûnas P., Petkevièienë J., Katinas V. A Numerical Simulation of Three-Dimensional Hydrothermal Processes in a Cooling Pond // The PHOENICS Journal of Computational Fluid Dynamics & its Applications. 1998. Vol. 11. N 3. P. 348–354.
- Montenegro H. S., Choucino M. A. Thermal dissipation in natural Basin // The PHOENICS Journal of Computational Fluid Dynamics & its Applications. 1994. Vol. 7. N 3. P. 14–36.

- Vaitiekunas P., Petkevièienë J., Katinas V. Hidroterminio trimaèiø procesø Drûkðiø eþere skaitinis modeliavimas. 1. Skaièiavimo metodika // Energetika. 2000. Nr. 4. P. 42–52.
- Vaitiekûnas P., Markevièius A. Two-phase numerical model of heat transfer in a natural basin // Ninth International PHOENICS Users Conference, 23–27 September, 2002. Moscow. CD-Rom, Disk, <http://www.cham.co.uk>. 2002. 20 p.
- PHOENICS 3.5 VR. 2002. <http://www.cham.co.uk>

Petas Vaitiekûnas, Jelena Daimardanova, Antanas Markevièius, Vladislovas Katinas

NUMERICAL SIMULATION OF HYDROTHERMAL PROCESSES IN LAKE DRÛKÐIAI

5. THE TWO-PHASE MODEL

S u m m a r y

The state of two-phase ‘liquid–gas’ flow has been modeled numerically by the three-dimensional method of a complex research of heat and mass transfer. This allows examining the interaction of some transfer processes in a natural cooling basin (Lake Drûkðiai): the power and direction of the wind, the variable density of the water, the heat conduction and heat transfer coefficients of the water-air interface. The combined effect of these natural actions determines the heat amount that the basin is able to dissipate to the surrounding atmospheric medium in thermal equilibrium (no change in the mean water temperature).

This article presents a number of most widely used expressions for vertical and horizontal heat transfer coefficients. Basing on the stream velocity and mean temperature profiles measured in the cooling pond, as well as on their time variations, suggestions are made that the mixing rate at the water surface is caused by the natural space-time variation of the wind and can be described by the value of the eddy viscosity coefficient – 1 m²/s (in numerical modeling 0.9–1.3 m²/s were used). The wind influence on the surface of the lake, according to the experimental data, is 1–

